



บทที่ 7

การทดสอบโปรแกรม

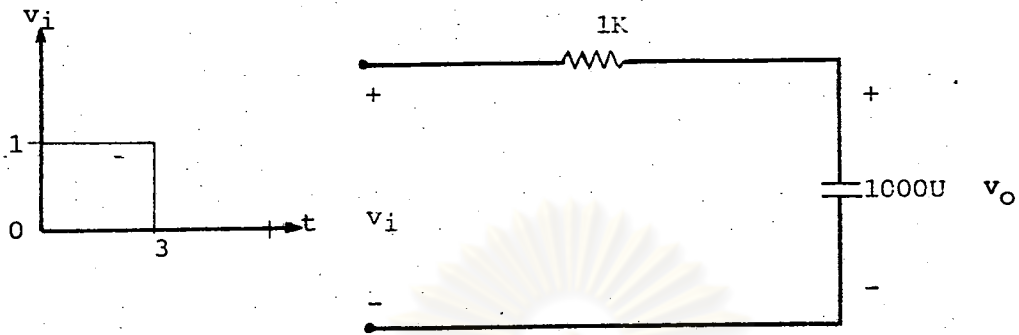
เพื่อให้มั่นใจได้ว่าโปรแกรมทำงานได้และเพื่อเป็นการยืนยันความถูกต้องของหลักการทางคณิตศาสตร์เชิงเวลาที่ได้คิดขึ้น เราจึงต้องมีการทดสอบโปรแกรมกับวงจรอิเล็กทรอนิกส์ที่เราทราบค่าคอมโพเนนต์แล้ว เพื่อเปรียบเทียบผลการคำนวณ แต่เนื่องจากชนิดของวงจรอิเล็กทรอนิกส์และลักษณะการใช้งานนั้นมีมากมาย จึงเป็นไปได้ที่เราจะทดลองโปรแกรมกับวงจรทุกชนิด ดังนั้นเราจึงเลือกวงจรอิเล็กทรอนิกส์ที่คิดว่าสามารถให้เป็นตัวแทนในการทดสอบขีดความสามารถและความถูกต้องในด้านต่างๆ ได้ โดยคิดว่าถ้าโปรแกรมสามารถคำนวณผลตอบสนองเชิงเวลาของวงจรเหล่านั้นได้ถูกต้องก็น่าที่จะคำนวณวงจรอื่นได้ถูกต้องใกล้เคียงค่าคำตอบจริงด้วย ซึ่งผลการทดลองทำให้เราต้องแก้ไขและปรับปรุงโปรแกรมหลายต่อหลายครั้งจนกระทั่งโปรแกรมสามารถใช้งานได้ดีพอสมควร

ในบทนี้เราจะยกตัวอย่างของวงจรต่างๆ ที่ใช้ทดลองโปรแกรมซึ่งจะเริ่มจากวงจรง่ายๆ เช่น วงจร RC และ RL ไปจนถึงวงจรที่มีการเปลี่ยนฟังก์ชันการทำงานของวงจรอย่างรวดเร็ว เช่น วงจรชmitt trigger เกออร์ (Schmitt trigger) เป็นต้น และจะได้เน้นถึงข้อควรระวังบางประการในการใช้โปรแกรมที่ผู้ใช้จะต้องทำความเข้าใจให้ดี

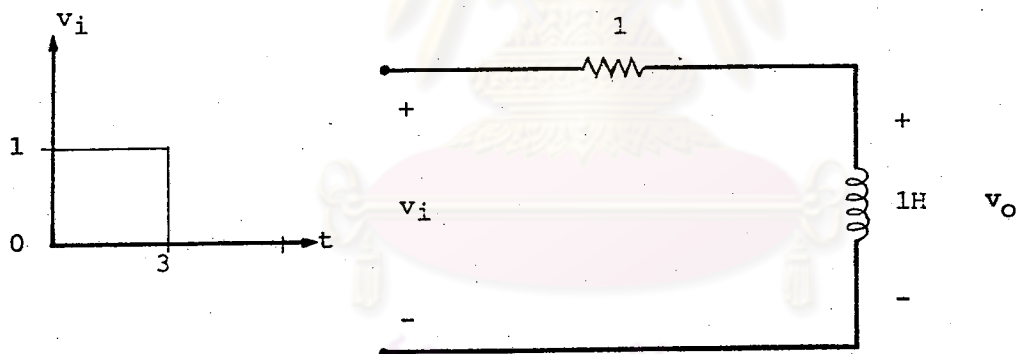
7.1 วงจรกรองผ่านต่ำ (low pass filter) และวงจรกรองผ่านสูง (high pass filter)

การทดลองวงจรผ่านต่ำตามรูป 7.1 (ก) และวงจรผ่านสูงตามรูป 7.1 (ข) เป็นการทดลองเพื่อทดสอบคณิตศาสตร์ของการประมาณอนุพันธ์ที่ใช้ว่ามีความถูกต้องเพียงใด ผลการทดลองวงจรในรูป 7.1 (ก) และ 7.1 (ข) นั้น เราแสดงเป็นกราฟได้ดังรูป 7.2 (ก) และ 7.2 (ข) ตามลำดับซึ่งจะเห็นว่าผลการคำนวณใกล้เคียงกับคำตอบจริงมากขึ้น เมื่อใช้ขนาดขั้นเวลา หรือ LTE น้อยลง

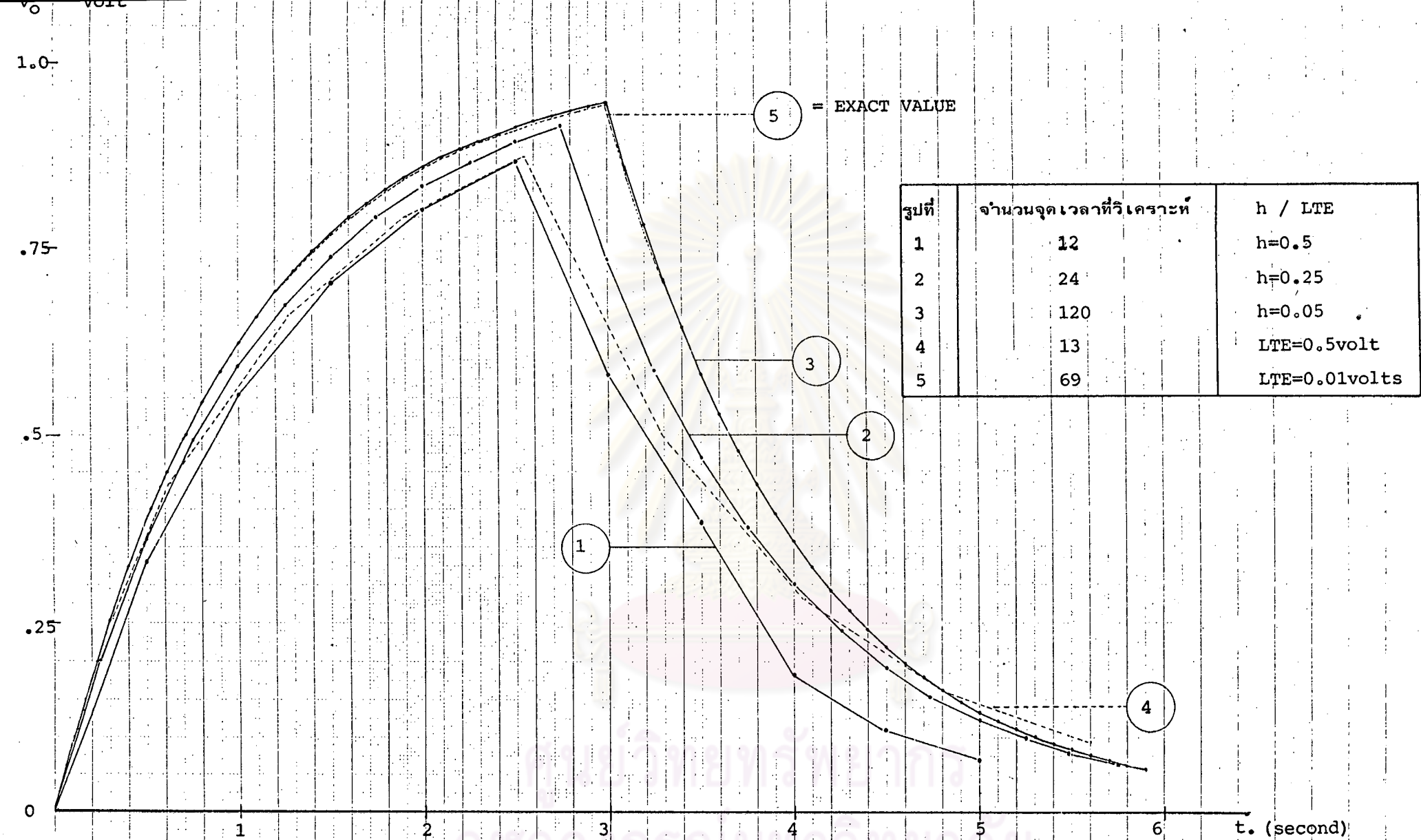
ส่วนวงจรในรูป 7.3 เป็นการทดลองผลตอบสนองเชิงเวลาตามธรรมชาติ (natural response) ของวงจร RLC ผลการทดลองที่ได้เทียบกับสมการดิฟเฟอเรนเชียลของวงจรมีความถูกต้องใกล้เคียงกันมากเมื่อกำหนดให้ $LTE = 0.02$ ไวลต์ ตามในรูป 7.4



รูปที่ 7.1(ก) วงจรกรองผ่านค่า RC

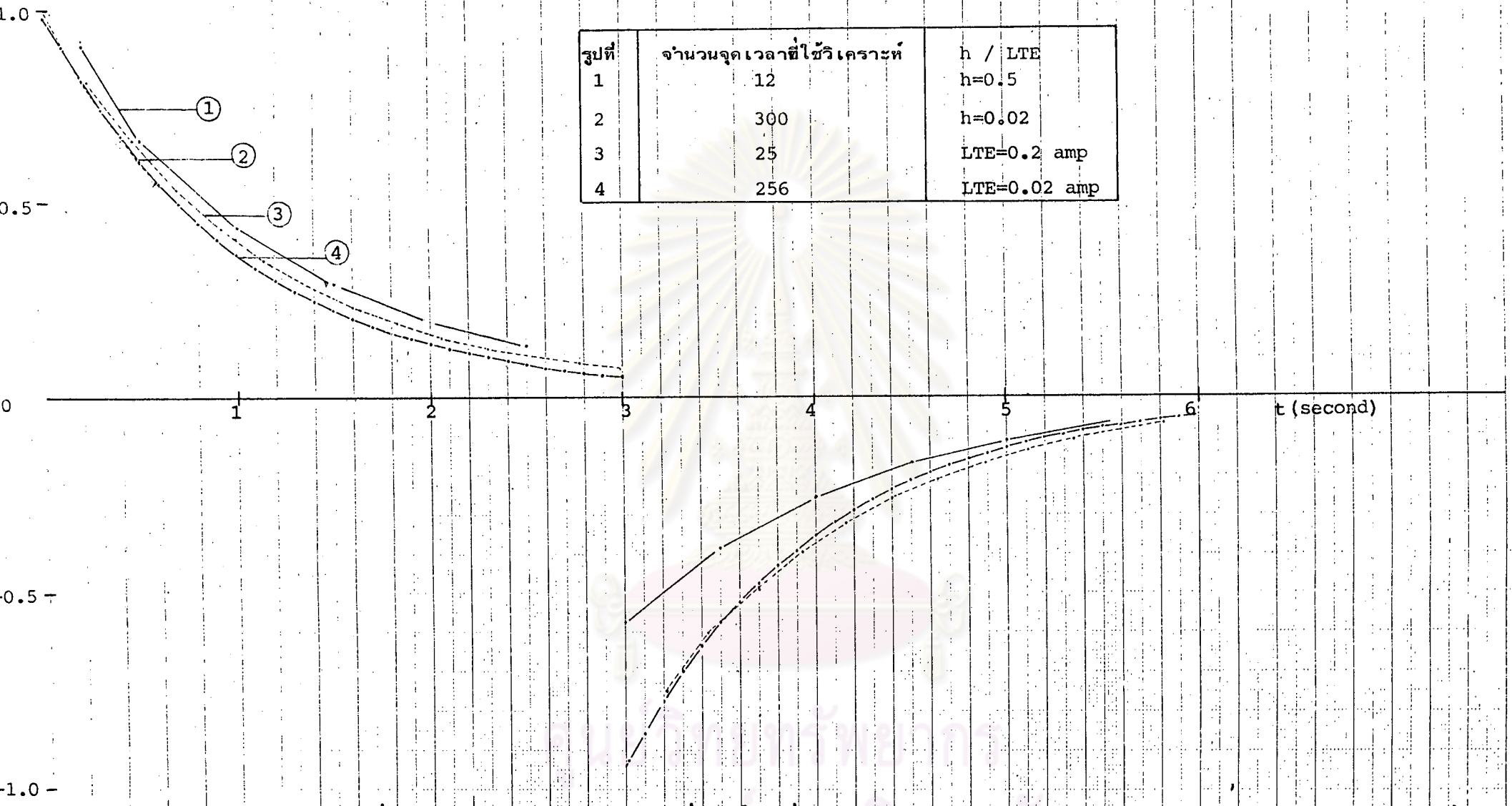


รูปที่ 7.1(ข) วงจรกรองผ่านสูง RL

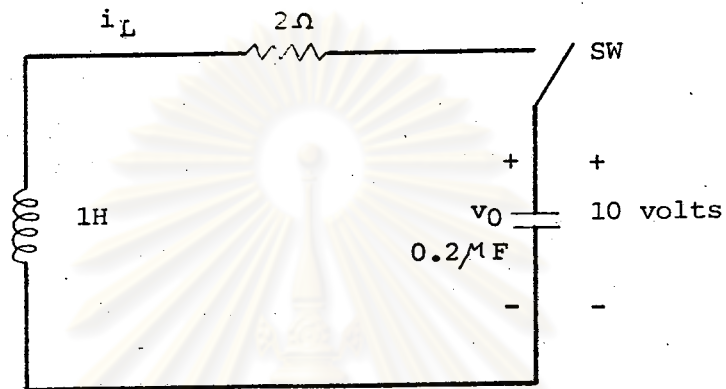


รูปที่ 7.2 (ก) กราฟผลการวิเคราะห์ห้วงจรผ่านค่าในรูปที่ 7.1 ก

v_o volt



รูปที่ 7.2 ข. กราฟผลการทดลองวงจรผ่านสูงในรูปที่ 7.1 ข

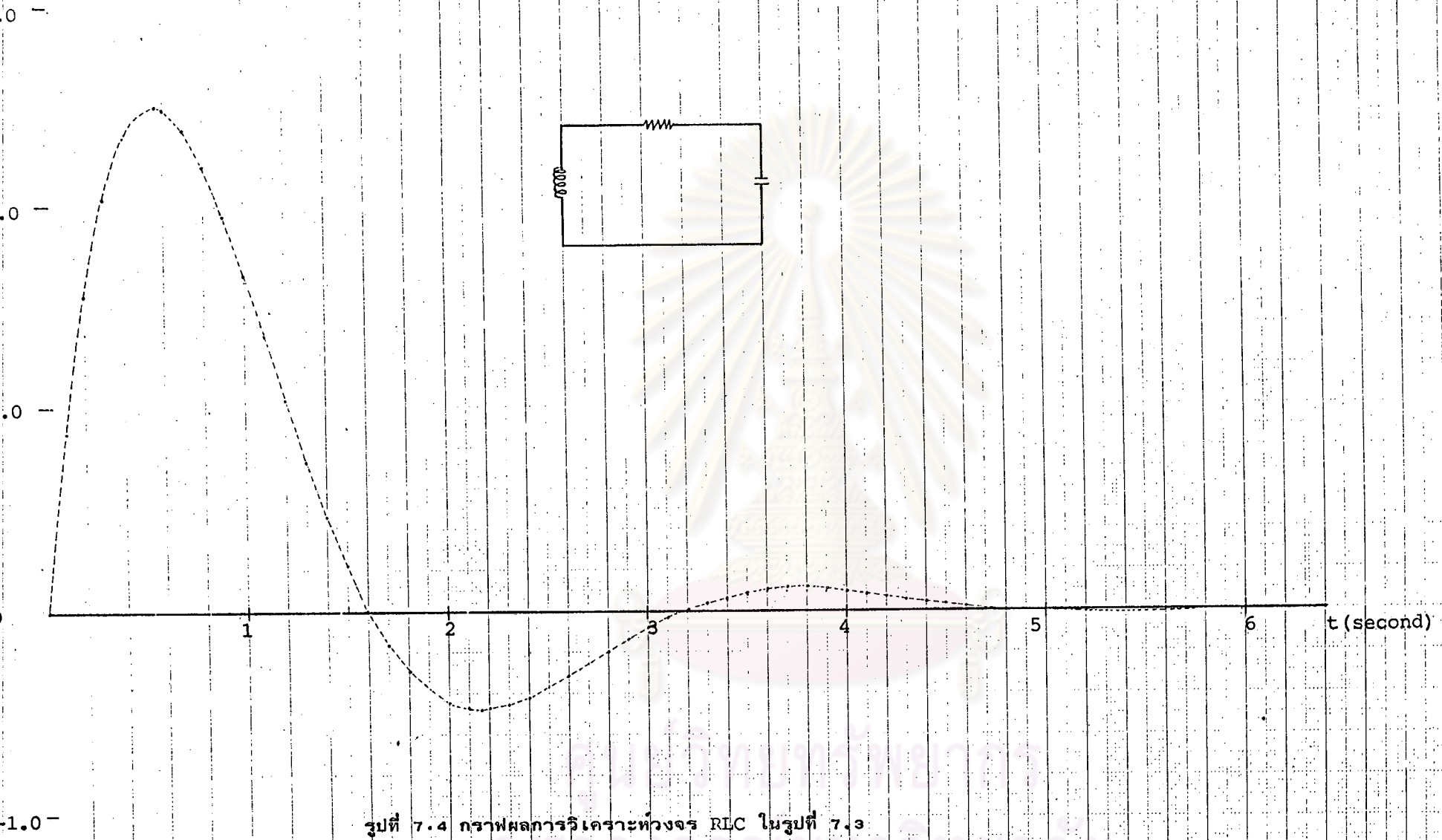


สวิตช์ปิดที่เวลา $t=0$ วินาที
ค่าคำตอบจริง $i_L = 5e^{-t} \sin 2t$

รูปที่ 7.3 วงจร RLC

ศูนย์วิทยทรัพยากร
จุฬาลงกรณ์มหาวิทยาลัย

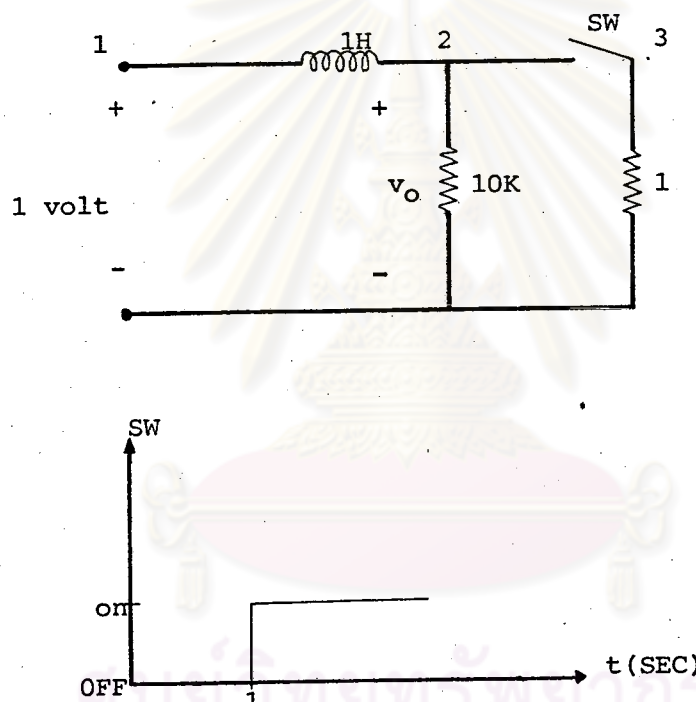
I_L (ampere)



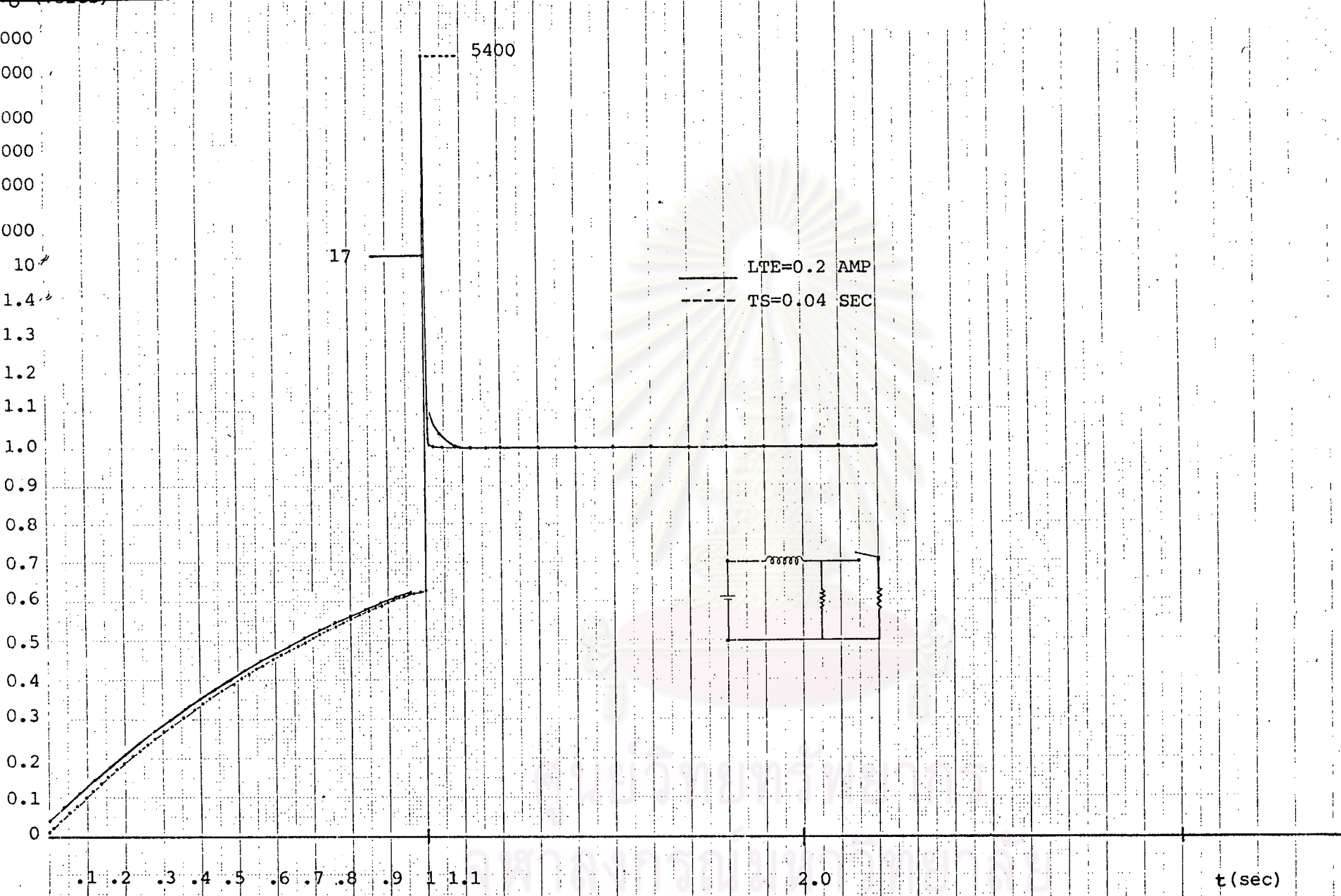
รูปที่ 7.4 กราฟผลการวิเคราะห์วงจร RLC ในรูปที่ 7.3

7.2 วงจรกรองผ่านค่าที่มีการเปลี่ยนค่าคงตัวทางเวลา (time constant) อย่างทันที

รูปที่ 7.5 เป็นวงจรกรองผ่านค่าที่ใช้ทดลองผลการเปลี่ยนค่าคงตัวทางเวลาอย่างทันทีทันทีโดยใช้สวิตช์เปลี่ยนค่าความต้านทานอย่างทันทีดังแสดงในรูปที่ 7.5 ผลการทดลองที่ได้แสดงให้เห็นอย่างชัดเจนดังแสดงในรูปที่ 7.6 ว่า การใช้ขนาดขึ้นเวลาคงที่กับวงจรที่มีการเปลี่ยนแปลงอย่างรวดเร็วนั้น นอกจากจะทำให้จำนวนจุดเวลาที่ต้องคำนวณมีจำนวนมากแล้วยังทำให้ผลการคำนวณในช่วงที่วงจรมีการเปลี่ยนแปลงมากๆ นั้นผิดพลาดจากคำตอบจริงไปมากถ้าให้ขนาดขึ้นเวลาไม่เล็กพอ ผลการทดลองนี้เป็นการยืนยันแนวคิดศาสตร์ของการปรับขนาดขึ้นเวลาด้วยว่าหลักการต่างๆ ที่นำมาใช้นั้นมีความถูกต้องและเชื่อถือได้



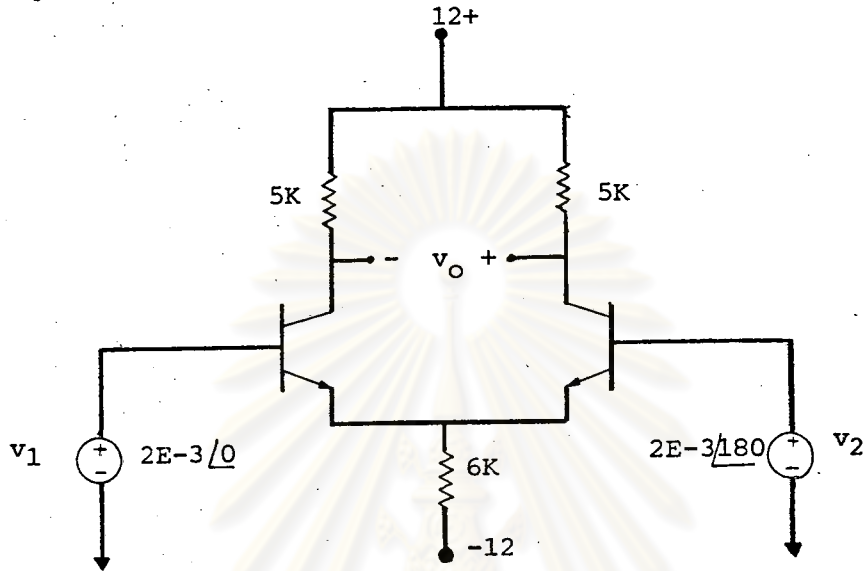
รูปที่ 7.5 วงจรกรองผ่านค่าที่มีการเปลี่ยนค่า time constant ทันที



รูปที่ 7.6 กราฟผลการทดลองวงจรกรองผ่านต่ำในรูปที่ 7.5

7.3 วงจรขยายสัญญาณต่าง (differential amplifier)

การทดลองวงจรขยายสัญญาณต่างในรูปที่ 7.7 นี้เพื่อเป็นการตรวจสอบวงจรสมมูลและตราประจำอุปกรณ์ของทรานซิสเตอร์ในภาวะโรงงานว่ามีความถูกต้องสมบูรณ์เพียงใดซึ่งผลการทดลองที่ได้ แสดงในรูปที่ 7.8 ก็เป็นที่น่าพอใจ



ทรานซิสเตอร์พารามิเตอร์ :

$$h_{fe} = 100$$

$$h_{ie} = 1K$$

$$C_{be} = 0$$

$$C_{bc} = 0$$

$$V_{be} = 0.6$$

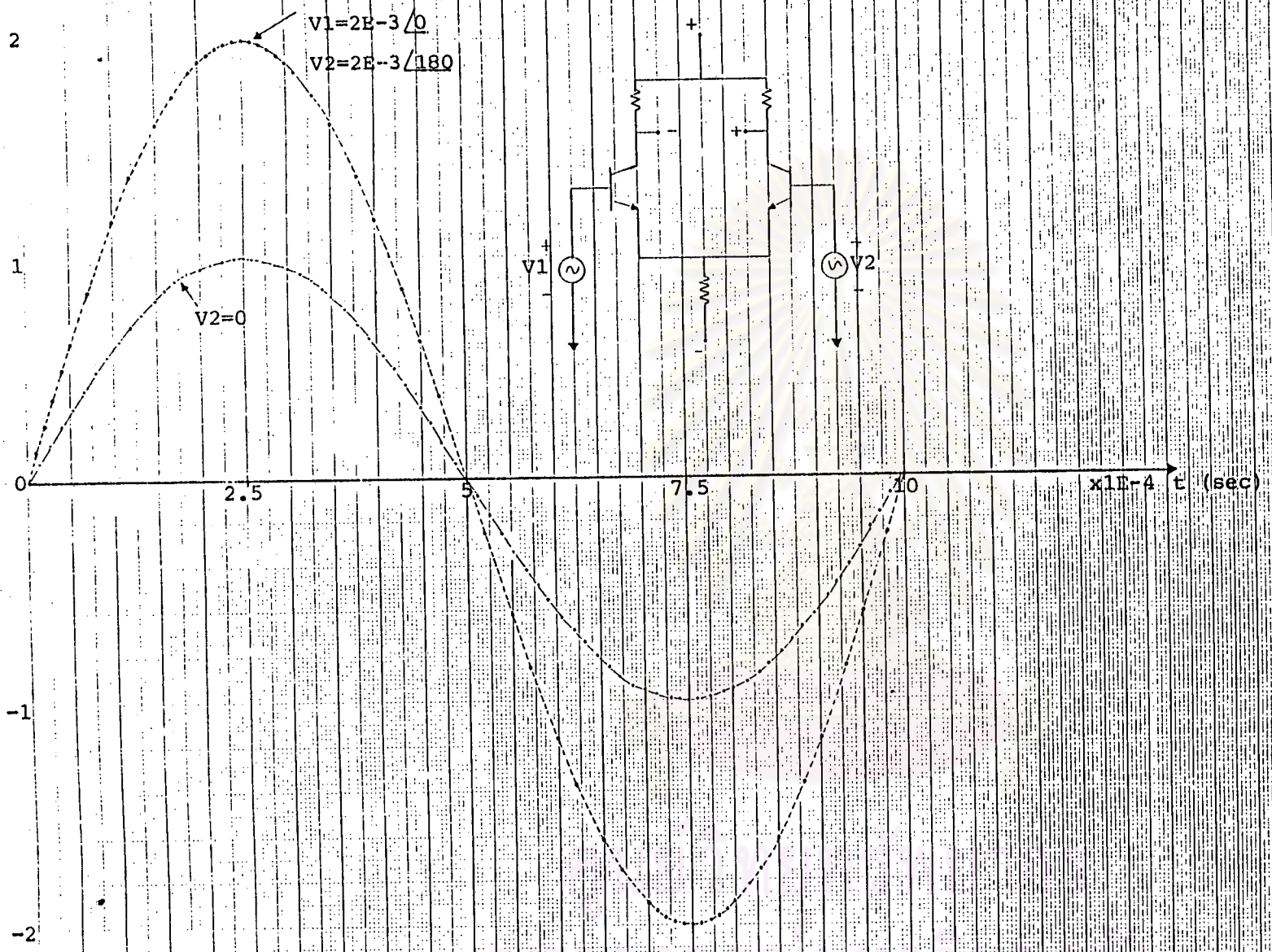
$$R_{ce} = \infty$$

$$\alpha_R = 0.5$$

รูปที่ 7.7 วงจรขยายสัญญาณต่าง

เมื่อทดลองให้ $v_2 = 0$ โวลต์ ก็จะได้แรงดัน v_o มีค่าประมาณครึ่งหนึ่งของ v_o ในรูปที่ 7.8 ซึ่งสอดคล้องกับทฤษฎีของวงจรประเภทนี้

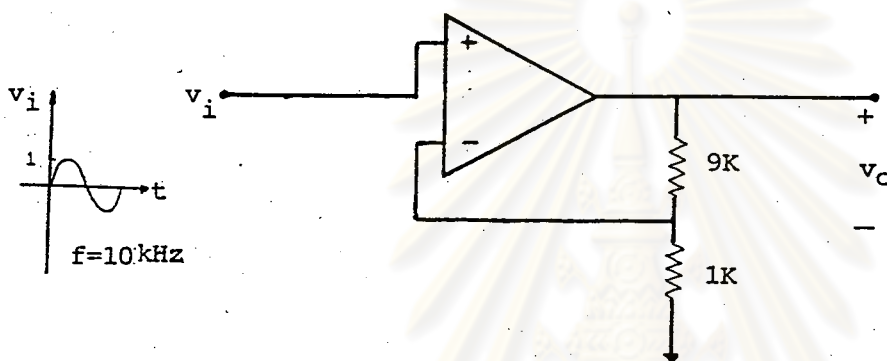
v_o (volts)



รูปที่ 7.8 ผลการทดลองวงจรขยายสัญญาณต่างในรูปที่ 7.7

7.4 วงจรขยายที่ใช้ออปแอมป์

วงจรออปแอมป์ที่นำมาใช้ทดลองก็เป็นวงจรขยายธรรมดา ดังแสดงในรูปที่ 7.9 เราแบ่งการทดลองเป็นการทดลองเมื่อใช้ออปแอมป์ที่เป็นอุดมคติ และใช้ออปแอมป์ที่มีความถี่หักมุมของอัตราขยายเปิดลูบ เพื่อเปรียบเทียบผลตอบสนองเชิงเวลาทางด้านขาออกของวงจร ผลที่ได้แสดงไว้ในรูปที่ 7.10 มีความถูกต้องใกล้เคียงกับผลการคำนวณทางทฤษฎีจาก [9] จึงถือได้ว่าวงจรสมบูรณ์ และตารางประจำอุปกรณ์ของออปแอมป์ที่เรานำมาใช้นั้นถูกต้อง



ออปแอมป์อุดมคติ ::

$$A_V \cong \infty$$

$$R_i \cong \infty$$

$$C_i \cong 0$$

$$R_O \cong 0$$

$$POLE \cong \infty$$

ออปแอมป์จริง ::

$$A_V = 10^5$$

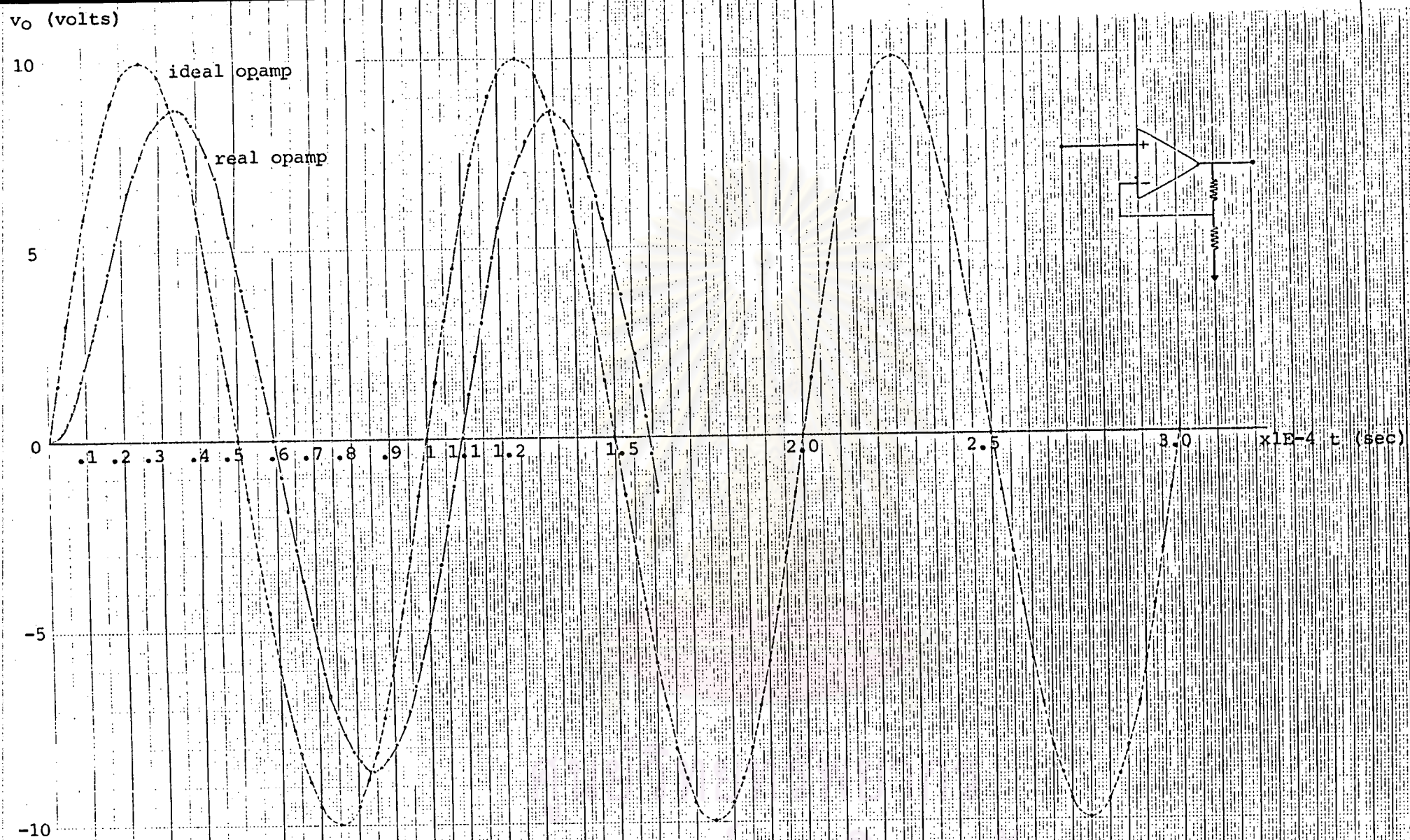
$$R_i = 100K$$

$$C_i = 100PF$$

$$R_O = 100$$

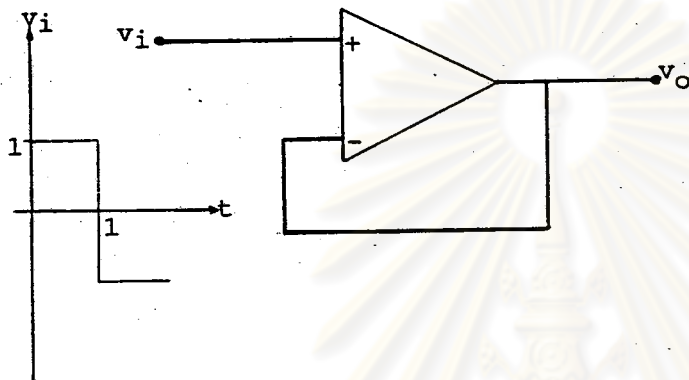
$$POLE = 10, 1MEG$$

รูปที่ 7.9 วงจรขยายออปแอมป์



รูปที่ 7.10 กราฟผลการคำนวณวงจรมายที่ใช้โอปแอมป์ในรูปที่ 7.9

สำหรับการทดลองเพื่อดูผลตอบสนองเชิงเวลาอันเนื่องมาจากความถี่หักมุมของออปแอมป์ เราจะใช้วงจรในรูปที่ 7.11 ซึ่งเป็นวงจรที่มีอัตราป้อนกลับ (β) เท่ากับหนึ่งและอัตราขยายของวงจรสูงมาก ($\approx \infty$) ผลการทดลองที่ได้เมื่อใช้แรงดันขาเข้าเป็นฟังก์ชันขั้นขึ้น (step function) แสดงไว้ดังในรูปที่ 7.12 ซึ่งใกล้เคียงผลจากการคำนวณโดยการแก้สมการดิฟเฟอเรนเชียล



ออปแอมป์พารามิเตอร์ :

$$A_0 = 10^5$$

$$R_i = 10K$$

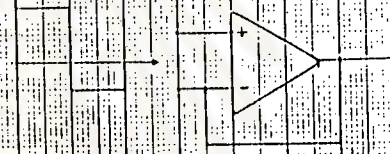
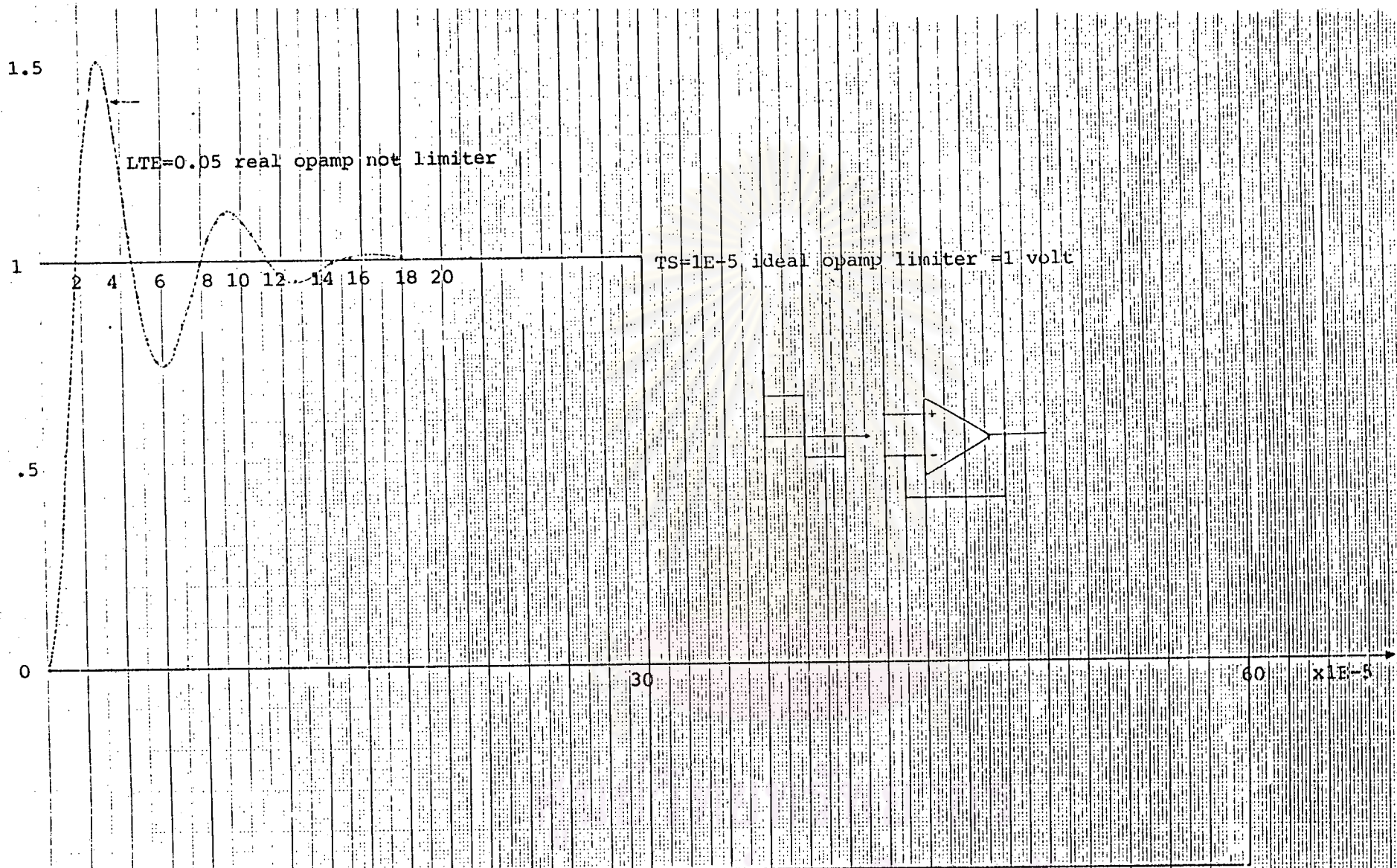
$$R_o = 100$$

$$POLE = 10, 10KHz$$

$$C_i = 0$$

รูปที่ 7.11 วงจรทดลองผลตอบสนองเชิงเวลาเนื่องจากความถี่หักมุม

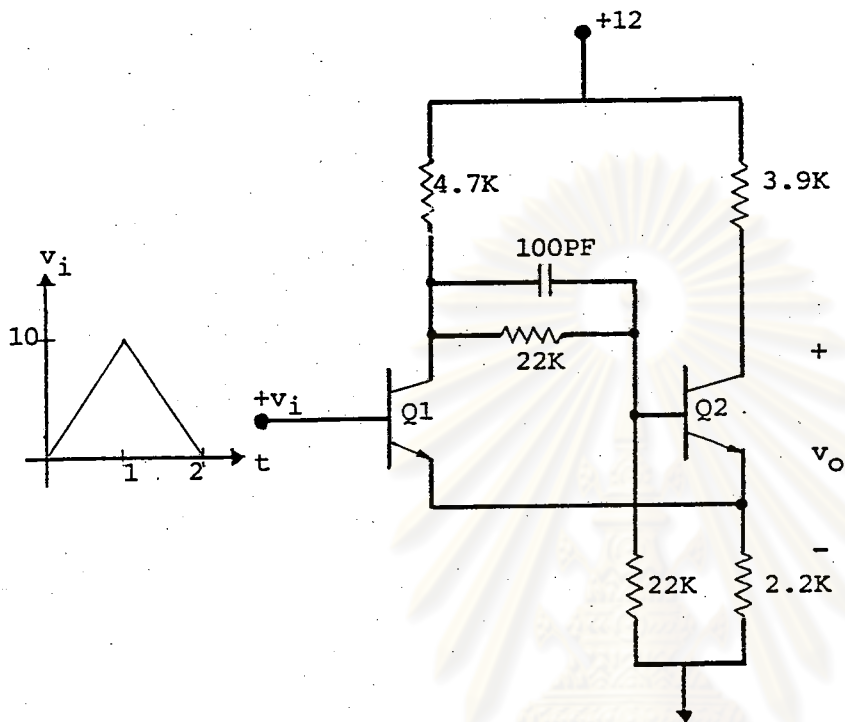
ศูนย์วิทยุกระจายเสียง
จุฬาลงกรณ์มหาวิทยาลัย



รูปที่ 7.12 กราฟผลการทดลองวงจรรอแอมป์ในรูปที่ 7.11

7.5 วงจรชนิดทรานซิสเตอร์

วงจรชนิดทรานซิสเตอร์ที่ใช้แสดงไว้ในรูปที่ 7.13 เป็นการทดสอบการสวิตช์ของทรานซิสเตอร์และความต่อเนื่องของภาวะการทำงานต่างๆ ผลการทดลองที่ได้แสดงไว้ในรูป 7.14 ซึ่งใกล้เคียงกับผลการคำนวณทางทฤษฎีมาก



ทรานซิสเตอร์พารามิเตอร์

$$h_{fe} = 100$$

$$h_{ie} = 1K$$

$$C_{be} = 500PF$$

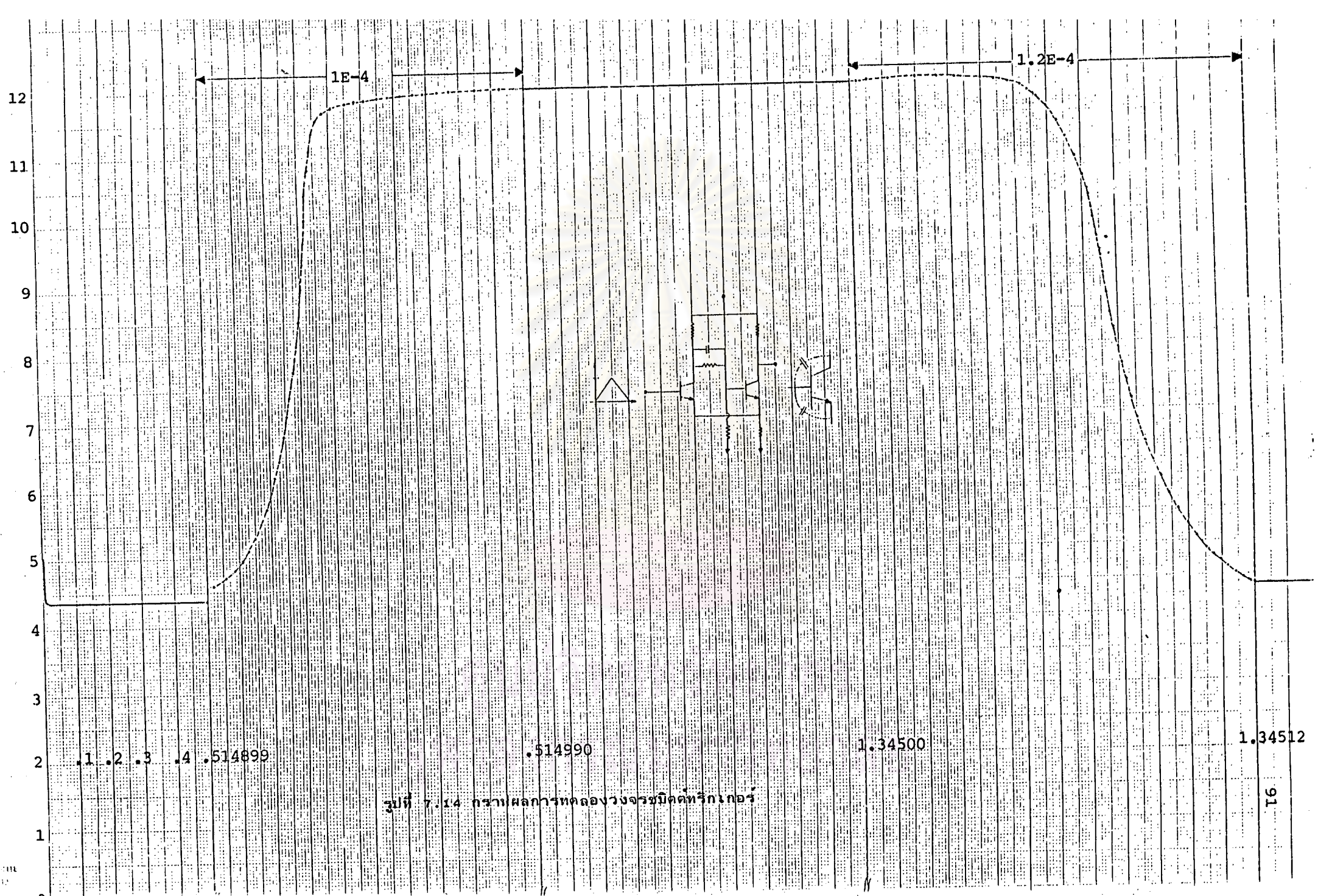
$$C_{bc} = 100PF$$

$$V_{be} = 0.7$$

$$\alpha_R = 0.5$$

รูปที่ 7.13 วงจรชนิดทรานซิสเตอร์

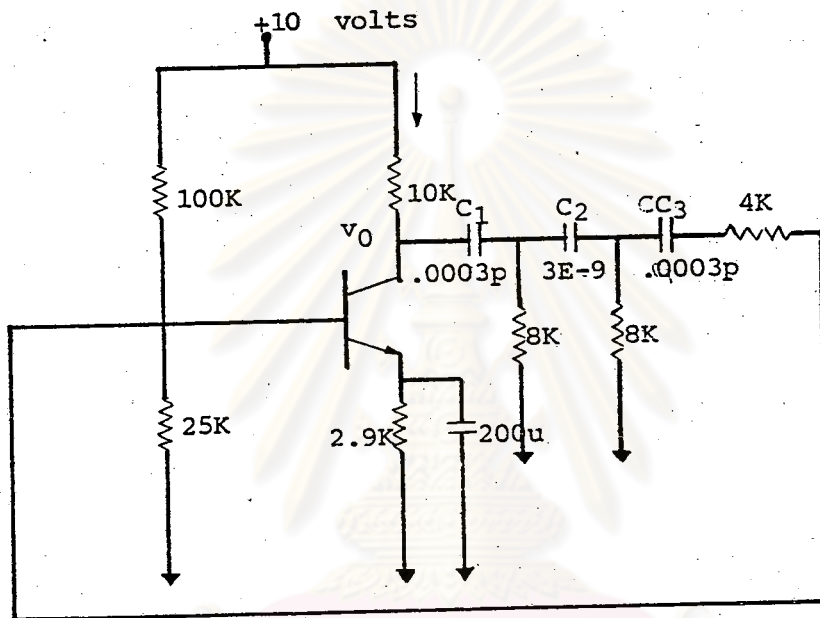
(วงจรถูกคัดลอกจากหนังสือ 'คู่มือการใช้งานอิเล็กทรอนิกส์ เล่ม 3' : ยืน ภู่วรรณ)



รูปที่ 7.14 กราฟผลการทดลองวงจรชนิดทรานซิสเตอร์

7.6 วงจรออสซิลเลเตอร์

วงจรออสซิลเลเตอร์ที่นำมาทดลองเป็นแบบเลื่อนเฟส (Phase-shift Oscillator) ดังแสดงในรูปที่ 7.15 การทดลองนี้ เพื่อทดสอบโปรแกรมว่าจะสามารถให้ผลการคำนวณที่ถูกต้องได้ในกรณีที่เกิดความไม่เสถียรในระบบวงจรอื่นๆ จากการคำนวณทางทฤษฎีวงจรนี้จะให้ความถี่ออสซิลเลตเท่ากับ 2 kHz ซึ่งผลการคำนวณที่ได้ก็ใกล้เคียงกันมากดังแสดงในรูปที่ 7.16 สำหรับวงจรออสซิลเลเตอร์นี้เราทราบอยู่แล้วจากการออกแบบว่ามันจะออสซิลเลตที่มีความถี่เท่าใด ดังนั้นในการทดลองนี้จึงให้ h มีค่าคงที่ได้



ภาวะเริ่มต้น

ทรานซิสเตอร์พารามิเตอร์

$v_{C1}(0) = 4$ โวลต์

$h_{fe} = 200$

$v_{C2}(0) = 0$ โวลต์

$h_{ie} = 5000$

$v_{C3}(0) = -2.08$ โวลต์

$C_{be} = 0$

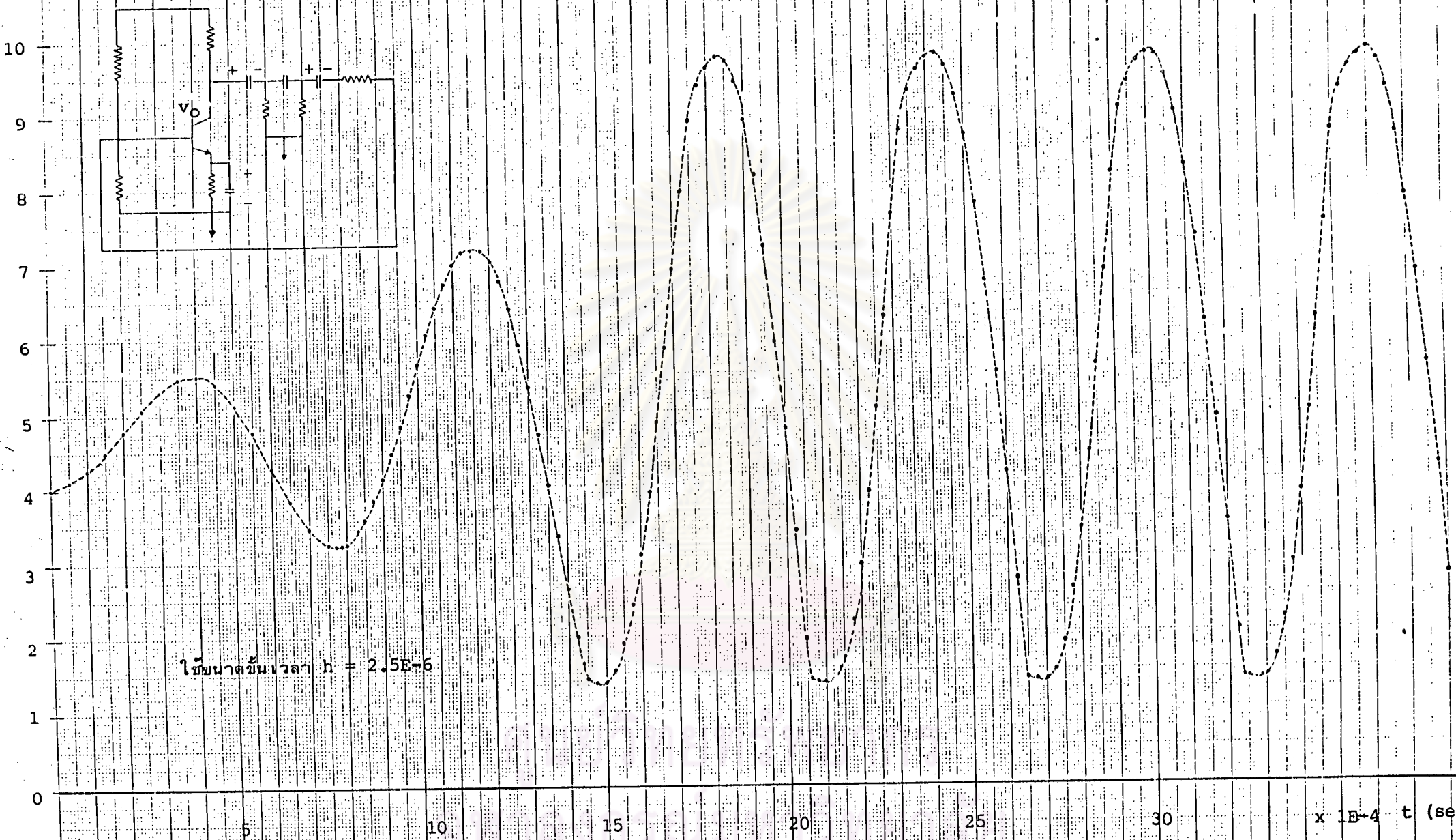
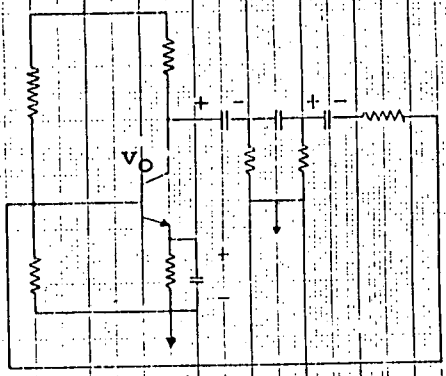
$v_{ce}(0) = 1.33$ โวลต์

$C_{bc} = 0$

$V_{be} = 0.6$

$\alpha_R = 0.5$

รูปที่ 7.15 วงจรออสซิลเลเตอร์



ใช้ขนาดขั้นเวลา $h = 2.5E-6$

รูปที่ 7.16 กราฟผลตอบสนองเชิงเวลาของวงจรในรูปที่ 7.15

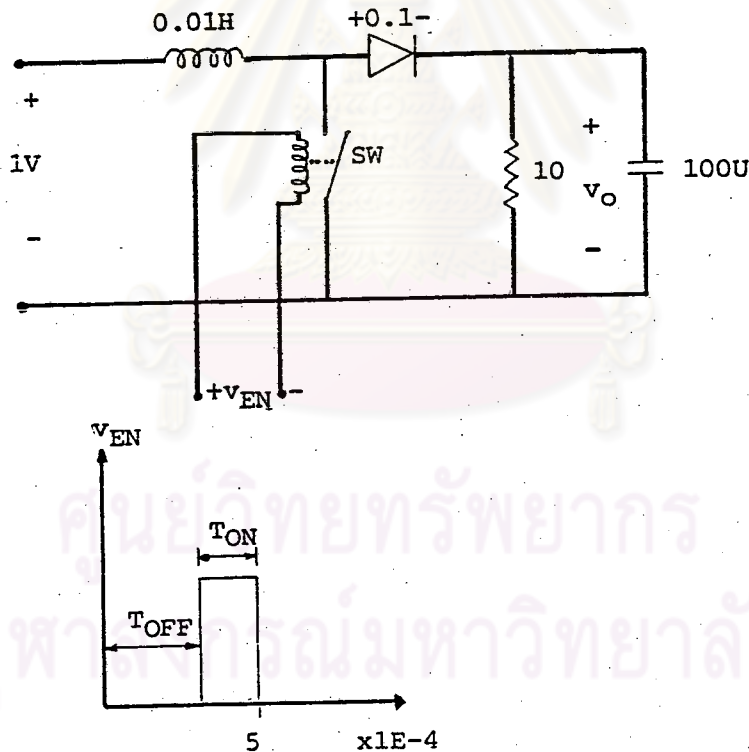
7.7 วงจรแปลงผันไฟตรง (dc to dc converter)

วงจรขยายไฟตรงนี้เป็นส่วนของการทดลองโปรแกรมกับวงจรอิเล็กทรอนิกส์กำลัง (power electronics) วงจรที่ใช้ทดลองดังแสดงในรูปที่ 7.17 เป็นวงจรขยายไฟตรงแบบ boost คือ แรงดันไฟตรงทางด้านขาออก จะมีค่าสูงกว่าแรงดันไฟตรงทางด้านขาเข้า ซึ่งอัตราขยายไฟตรง (Ad.c) ขึ้นอยู่กับอัตราการเปิดและปิดวงจรของสวิตช์ โดยที่

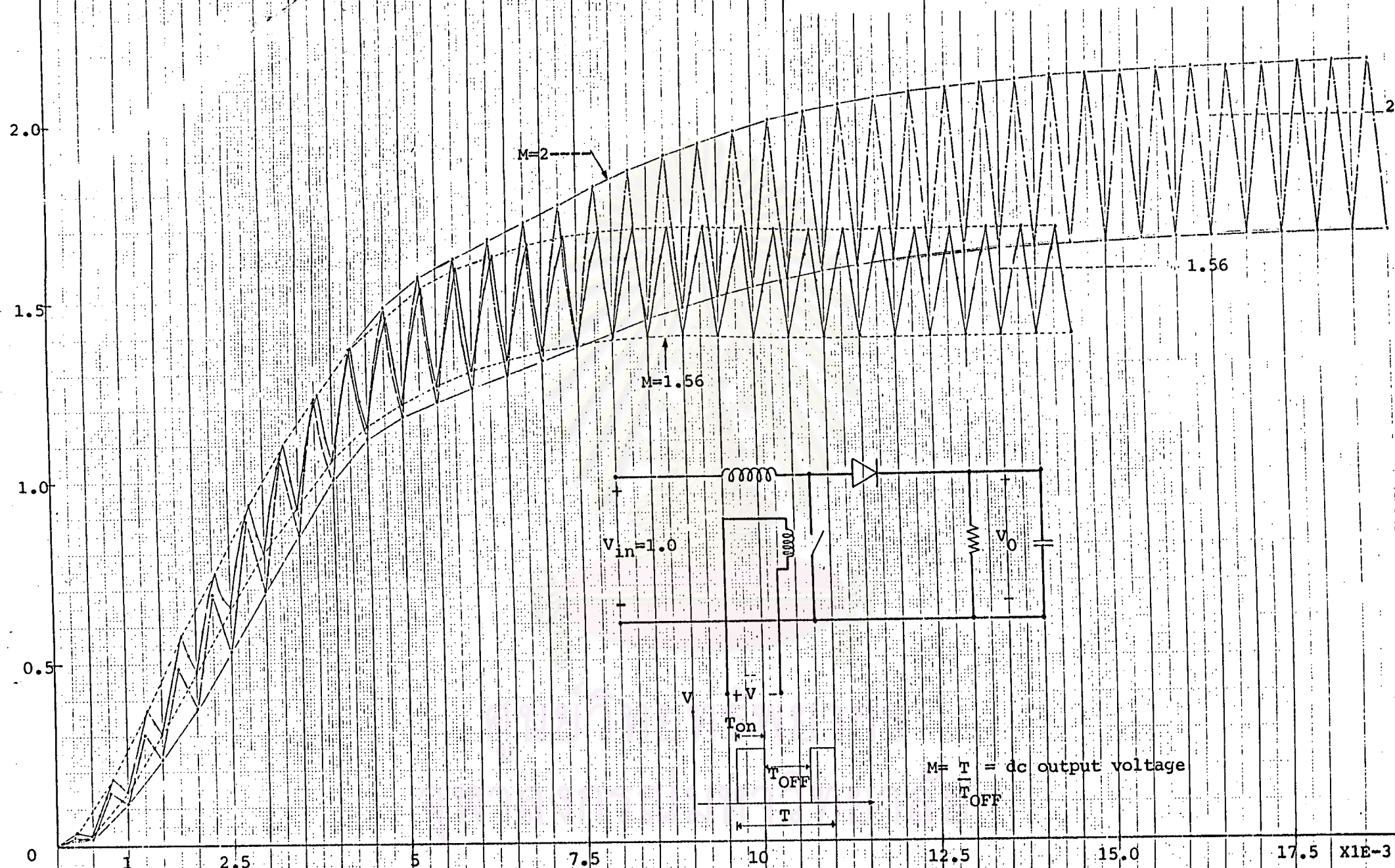
$$Ad.c = \frac{T}{T_{OFF}} \quad \text{---(7.1)}$$

โดยที่ T_{OFF} = เวลาที่สวิตช์เปิดวงจร และ T = เวลาต่อ 1 คาบ

การทดลองตามรูปที่ 7.17 นี้เราให้ $T:T_{OFF} = 5:3$ และ $2:1$ ตามลำดับ ผลการทดลองที่ได้จะเป็นดังรูปที่ 7.18 ได้ค่าเฉลี่ยใกล้เคียงผลการคำนวณทางทฤษฎี



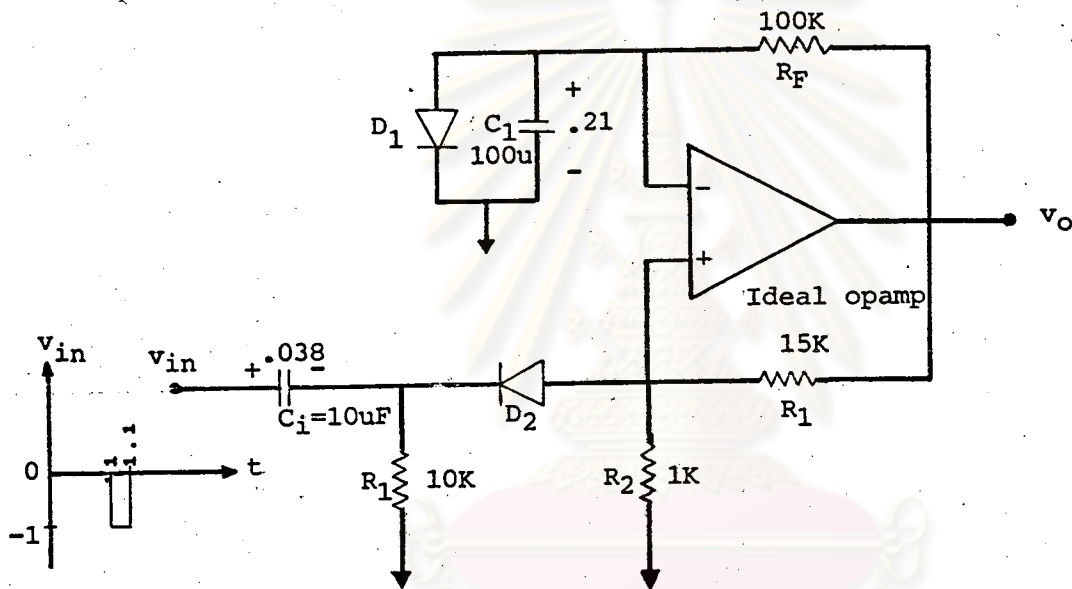
รูปที่ 7.17 วงจรขยายไฟตรง



รูปที่ 7.18 กราฟผลคูณสองเชิงเวลาของวงจร DC to DC BOOST CONVERTER

7.8 วงจรเอกะเสถียร (Monostable Multivibrator)

รูปที่ 7.19 เป็นวงจรเอกะเสถียรที่ใช้โอปแอมป์ วงจรนี้เป็นการทดสอบการเปลี่ยนสถานะการทำงานของออปแอมป์ โดยเราออกแบบให้แรงดันเอาต์พุต v_o เปลี่ยนค่าเป็น -5 โวลต์ เป็นเวลาประมาณ 1 วินาที ทุกครั้งที่มีสัญญาณทรiggerเข้ามาที่อินพุต (v_{in}) ผลการทดสอบที่ได้แสดงดังรูป 7.20 ซึ่งมีช่วงพัลส์ของการเปลี่ยนภาวะใกล้เคียงกับที่คำนวณไว้



รูปที่ 7.19 วงจรเอกะเสถียร



(volt)



รูปที่ 7.20 กราฟผลการวิเคราะห์ทางจลนศาสตร์ในรูปที่ 7.19